

УДК 532.13

ТЕЧЕНИЕ НАНОЖИДКОСТИ С РЕОЛОГИЧЕСКИМ СТЕПЕННЫМ ЗАКОНОМ НА ВЕРТИКАЛЬНОЙ РАСТЯГИВАЮЩЕЙСЯ ПЛАСТИНЕ ПРИ КОНВЕКТИВНОМ ГРАНИЧНОМ УСЛОВИИ

Т. Хайат^{*,**}, М. Хусейн^{***}, С. А. Шехзад^{****}, А. Алсаеди^{**}

* Университет Каид-и-Азам, 44000 Исламабад, Пакистан

** Университет короля Абдул-Азиза, 21589 Джедда, Саудовская Аравия

*** Университет техники и технологии, 54890 Лахор, Пакистан

**** Институт информационных технологий COMSATS, 57000 Сахивал, Пакистан

E-mails: fmgpak@gmail.com, majid_gul@yahoo.com,

ali_qau70@yahoo.com, aalsaedi@hotmail.com

Исследовано течение в пограничном слое неньютоновской жидкости, содержащей наночастицы, на вертикальной растягивающейся пластине. Проверена сходимость полученного решения. Получены значения скорости, температуры, поверхностного трения и числа Нуссельта в пограничном слое.

Ключевые слова: наночастицы, реологический степенной закон для жидкости, конвективное граничное условие.

DOI: 10.15372/PMTF20160119

Введение. Жидкости с взвешенными в них наночастицами называются наножидкостями. Такие жидкости характеризуются большими теплопроводностью и скоростью теплообмена. В [1] впервые сформулировано уравнение движения наножидкости. Теплообмен в ньютоновской наножидкости в ламинарном внешнем пограничном слое исследован в работе [2]. В [3] предложена модель с эффективной теплопроводностью. В этой модели теплопроводность нелинейно зависит от концентрации наночастиц. В [4] показано, что при наличии даже небольшого количества наночастиц теплопроводность жидкости увеличивается приблизительно в два раза. В [5] получены численные решения задачи о смешанном конвективном течении наножидкости в наклонной каверне с движущейся крышкой. Осесимметричное смешанное конвективное течение вязкой наножидкости на вертикальном растягивающемся цилиндре исследовано в [6]. В работе [7] с использованием модели вязкости Бринкмана проведен анализ смешанного конвективного течения наножидкости в квадратной каверне с одной и двумя движущимися крышками. Решение получено с помощью метода конечных объемов второго порядка. В [8] представлены аналитические решения задачи о естественном конвективном течении наножидкости при наличии магнитного поля. В работе [9] выполнен численный анализ естественного конвективного течения наножидкости при неизотермическом распределении температуры. В [10] изучена скорость теплообмена в наножидкости на основе воды в случае смешанной конвекции

в каверне с движущейся крышкой. В [11] исследовано течение наножидкости при наличии тепломассообмена на поверхности скольжения и получены точные и аналитические решения. Процессы тепломассообмена в наножидкостях проанализированы в работе [12]. В [13] с использованием метода наименьших квадратов и метода Галеркина изучено магнитогидродинамическое течение наножидкости в полупористом канале. Влияние двойной стратификации на течение в пограничном слое наножидкости на вертикальной пластине численно исследовано в работе [14]. В [15] изучен процесс теплообмена в наножидкости медь — вода, находящейся между параллельными пластинами. В [16] получены численные решения задачи о течении в пограничном слое наножидкости в случае конвективного теплового граничного условия.

В работе [17] изучены течение в пограничном слое и теплообмен неньютоновской наножидкости на вертикальной растягивающейся пластине. В [18] исследовано течение в пограничном слое неньютоновской наножидкости на вертикальном конусе в пористой среде при наличии источника (стока) тепла. В [19] проведен анализ теплообмена в неньютоновской наножидкости стеариновая кислота — TiO_2 , заполняющей пористую среду между двумя коаксиальными цилиндрами. В [20] изучено течение в неортогональной точке торможения потока неньютоновской наножидкости.

При анализе теплообмена большое внимание уделялось задачам с заданной температурой или потоком тепла на поверхности, однако теплообмен в наножидкости в случае конвективного граничного условия изучен недостаточно. Целью данной работы является исследование течения в пограничном слое неньютоновской наножидкости на растягивающейся поверхности в случае конвективного теплового условия с использованием реологического степенного закона. С помощью метода гомотопического анализа (МГА) строятся решения в виде ряда для скорости и температуры [21–25]. Доказана сходимость полученных решений и проведен их анализ.

1. Постановка задачи. Рассмотрим стационарное двумерное смешанное конвективное течение в пограничном слое наножидкости со степенным законом. Пластина растягивается вдоль оси x со скоростью u_w , при этом температура стенки обозначена T_w , температура жидкости — T_∞ . Рассматриваемое течение описывается уравнениями

$$\frac{\partial u}{\partial x} + \frac{\partial v}{\partial y} = 0; \quad (1)$$

$$u \frac{\partial u}{\partial x} + v \frac{\partial u}{\partial y} = \frac{1}{\rho_{nf}} \left(-\mu_{nf} \frac{\partial}{\partial y} \left(-\frac{\partial u}{\partial y} \right)^k \pm g(\rho\beta)_{nf}(T - T_\infty) \right), \quad (2)$$

$$u \frac{\partial T}{\partial x} + v \frac{\partial T}{\partial y} = \alpha_{nf} \frac{\partial^2 T}{\partial y^2},$$

где u , v — компоненты скорости в направлениях осей x , y соответственно; μ_{nf} — эффективная динамическая вязкость; T — температура жидкости; k — показатель степени в степенном законе; g — ускорение свободного падения; ρ_{nf} — эффективная плотность; $(\rho\beta)_{nf}$ — коэффициент теплового расширения; α_{nf} — эффективная температуропроводность. Данные параметры определяются следующим образом:

$$\rho_{nf} = (1 - \varphi)\rho_f + \varphi\rho_s, \quad \mu_{nf} = \mu_f/(1 - \varphi)^{2,5}, \quad (\rho\beta)_{nf} = (1 - \varphi)(\rho\beta)_f + \varphi(\rho\beta)_s,$$

$$(\rho C_p)_{nf} = (1 - \varphi)(\rho C_p)_f + \varphi(\rho C_p)_s, \quad \alpha_{nf} = k_{nf}/(\rho C_p)_{nf},$$

$$k_{nf} = k_f \frac{k_s + 2k_f - 2\varphi(k_f - k_s)}{k_s + 2k_f - 2\varphi(k_f - k_s)}$$

(φ — объемная доля твердых наночастиц; ρC_p — теплоемкость; k_{nf} — эффективная теплопроводность наножидкости).

Граничные условия задачи имеют вид

$$\begin{aligned} y = 0: \quad u = bx, \quad v = 0, \quad -k_{nf} \frac{\partial T}{\partial y} = -h(T_f - T), \\ y \rightarrow \infty: \quad u = 0, \quad T \rightarrow T_\infty. \end{aligned} \quad (3)$$

Введем функцию тока Ψ . Тогда компоненты скорости имеют вид $u = \partial\Psi/\partial y$, $v = -\partial\Psi/\partial x$. Введем также следующие зависимости:

$$\Psi = xu_w(\text{Re}_x)^{-1/(k+1)} f(\eta), \quad \eta = \frac{y}{x} (\text{Re}_x)^{-1/(k+1)}, \quad \theta(\eta) = \frac{T - T_\infty}{T_f - T_\infty}$$

(Re_x — локальное число Рейнольдса). С учетом этих соотношений условие несжимаемости (1) тождественно удовлетворяется, а уравнения (2), (3), (5) принимают вид

$$\begin{aligned} \frac{k}{(1-\varphi)^{2,5}} (-f'')^{k-1} f''' + \left(1 - \varphi + \varphi \left(\frac{\rho_s}{\rho_f}\right)\right) \left(\frac{2k}{k+1} f f'' - f'^2\right) + \lambda \left(1 - \varphi + \varphi \left(\frac{(\rho\beta)_s}{(\rho\beta)_f}\right)\right) \theta = 0, \\ \frac{1}{\text{Pr}_m} \left(\frac{k_{nf}}{k_f}\right) \varphi'' + \left(1 - \varphi + \varphi \left(\frac{(\rho C_p)_s}{(\rho C_p)_f}\right)\right) \frac{2k}{1+k} f \theta' - f' \theta = 0, \\ f(0) = 0, \quad f'(0) = 1, \quad \theta'(0) = -\gamma(1 - \theta(0)), \\ f'(\eta) = 0, \quad \theta(\eta) = 0, \quad \eta \rightarrow \infty, \end{aligned}$$

где штрих обозначает дифференцирование по η ; Pr_m — модифицированное число Прандтля для жидкости со степенным законом; λ — параметр смешанной конвекции; Gr_x — число Грасгофа:

$$\text{Pr}_m = \frac{bx^2}{\alpha f} (\text{Re}_x)^{-2/(k+1)}, \quad \lambda = \pm \frac{\text{Gr}_x}{\text{Re}_x}, \quad \text{Gr}_x = \frac{g\beta(T_w - T_\infty)xb^{-n}}{v_f}.$$

Коэффициент поверхностного трения C_f и локальное число Нуссельта Nu_x определяются по формулам

$$C_f = \frac{2\mu_{nf}}{\rho_f u_w^2} \left(\frac{\partial u}{\partial y}\right)^n \Big|_{y=0}, \quad \text{Nu}_x = \frac{xk_{nf}}{k_f(T_w - T_\infty)} \left(\frac{\partial T}{\partial y}\right) \Big|_{y=0}.$$

Представим эти выражения в безразмерной форме:

$$(\text{Re}_x)^{-1/(k+1)} C_f = \frac{2}{(1-\varphi)^{2,5}} - (f''(0))^k, \quad (\text{Re}_x)^{-1/(k+1)} \text{Nu}_x = 1 + \frac{1}{\theta'(0)} \frac{k_{nf}}{k_f}.$$

2. Представление решения. Исходные функции f_0 , θ_0 и вспомогательные линейные операторы L_f , L_θ выбраны следующим образом:

$$f_0(\eta) = 1 - e^{-\eta}, \quad \theta_0(\eta) = \frac{\gamma e^{-\eta}}{1 - \gamma}, \quad L_f = \frac{d^3 f}{d\eta^3} + \frac{d^2 f}{d\eta^2}, \quad L_\theta = \frac{d^2 \theta}{d\eta^2} - \theta.$$

Операторы удовлетворяют следующим соотношениям:

$$L_f[C_1 + C_2\eta + C_3 e^{-\eta}] = 0, \quad L_\theta[C_4 e^\eta + C_5 e^{-\eta}] = 0$$

(C_i ($i = 1 \div 5$) — произвольные постоянные).

Вводя параметр $p \in [0, 1]$ и полагая, что вспомогательные параметры h_f , h_θ отличны от нуля, получаем следующие задачи нулевого порядка:

$$(1-p)L_f[\hat{f}(\eta; p) - f_0(\eta)] = ph_f N_f[\hat{f}(\eta; p), \hat{\theta}(\eta; p)],$$

$$\begin{aligned}
(1-p)L_\theta[\hat{\theta}(\eta; p) - \theta_0(\eta)] &= ph_\theta N_\theta[\hat{f}(\eta; p), \hat{\theta}(\eta; p)], \\
\hat{f}(\eta, p)|_{\eta=0} &= 0, \quad \frac{\partial \hat{f}(\eta, p)}{\partial \eta} \Big|_{\eta=\infty} = 1, \quad \hat{\theta}(\eta, p)|_{\eta=0} = -\gamma(1 + \theta(0)), \\
\frac{\partial \hat{f}(\eta, p)}{\partial \eta} \Big|_{\eta=\infty} &= 0, \quad \hat{\theta}(\eta, p)|_{\eta=\infty} = 0.
\end{aligned} \tag{4}$$

При $k = 1$ нелинейные операторы имеют вид

$$\begin{aligned}
N_f[\hat{f}(\eta; p), \hat{g}(\eta; p)] &= \frac{k}{(1-\varphi)^{2,5}} \frac{\partial^3 \hat{f}(\eta; p)}{\partial \eta^3} + \left(1 - \varphi + \varphi \left(\frac{\rho_s}{\rho_f}\right)\right) \frac{2k}{k+1} \hat{f}(\eta; p) \frac{\partial \hat{f}(\eta; p)}{\partial \eta} - \\
&\quad - \left(\frac{\partial \hat{f}(\eta; p)}{\partial \eta}\right)^2 + \lambda \left(1 - \varphi + \varphi \left(\frac{(\rho\beta)_s}{(\rho\beta)_f}\right)\right) \theta, \\
N_\theta[\hat{f}(\eta; p), \hat{\theta}(\eta; p)] &= \frac{1}{Pr_m} \frac{k_{nf}}{k_f} \frac{\partial^2 \hat{\theta}(\eta; p)}{\partial \eta^2} + \left(1 - \varphi + \varphi \left(\frac{(\rho C_p)_s}{(\rho C_p)_f}\right)\right) \frac{2k}{1+k} \hat{f}(\eta; p) \frac{\partial \hat{\theta}(\eta; p)}{\partial \eta} - \\
&\quad - \hat{\theta}(\eta; p) \frac{\partial \hat{f}(\eta; p)}{\partial \eta}.
\end{aligned}$$

При $p = 0$ и $p = 1$ получаем

$$\hat{f}(\eta; 0) = f_0(\eta), \quad \hat{f}(\eta; 1) = f(\eta), \quad \hat{\theta}(\eta; 0) = \theta_0(\eta), \quad \hat{\theta}(\eta; 1) = \theta(\eta),$$

поэтому функции \hat{f} и $\hat{\theta}$ можно представить в виде

$$\begin{aligned}
\hat{f}(\eta; p) &= f_0(\eta) + \sum_{m=1}^{\infty} f_m(\eta) p^m, & \hat{\theta}(\eta; p) &= \theta_0(\eta) + \sum_{m=1}^{\infty} \theta_m(\eta) p^m, \\
f_m(\eta) &= \frac{1}{m!} \frac{\partial^m f(\eta; p)}{\partial \eta^m} \Big|_{p=0}, & \theta_m(\eta) &= \frac{1}{m!} \frac{\partial^m \theta(\eta; p)}{\partial \eta^m} \Big|_{p=0}.
\end{aligned}$$

Значения h_f и h_θ выбраны таким образом, чтобы ряды решения сходились при $p = 1$. Тогда

$$f(\eta) = f_0(\eta) + \sum_{m=1}^{\infty} f_m(\eta), \quad \theta(\eta) = \theta_0(\eta) + \sum_{m=1}^{\infty} \theta_m(\eta).$$

Задачи для деформации m -го порядка имеют вид

$$\begin{aligned}
L_f[f_m(\eta) - \chi_m f_{m-1}(\eta)] &= h_f R_m^f(\eta), & L_\theta[\theta_m(\eta) - \chi_m \theta_{m-1}(\eta)] &= h_\theta R_m^\theta(\eta), \\
f_m(0) = 0, \quad f'_m(0) = 0, \quad f'_m(\infty) = 0, & & \theta'_m(0) = \theta_m(\infty) = 0,
\end{aligned} \tag{5}$$

где нелинейные операторы при $k = 1, 2$ определены следующим образом:

$$\begin{aligned}
R_m^f(\eta) &= \frac{k}{(1-\varphi)^{2,5}} f_{m-1}''' + \left(1 - \varphi + \varphi \left(\frac{\rho_s}{\rho_f}\right)\right) \sum_{k=0}^{m-1} f_k f_{m-1-k}'' - \\
&\quad - \left(1 - \varphi + \varphi \left(\frac{\rho_s}{\rho_f}\right)\right) \sum_{k=0}^{m-1} f'_k f'_{m-1-k} + \lambda \theta_{m-1};
\end{aligned} \tag{6}$$

$$R_m^\theta(\eta) = \frac{1}{Pr_m} \left(\frac{k_{nf}}{k_f}\right) \theta_{m-1}'' + \left(1 - \varphi + \varphi \left(\frac{(\rho C_p)_s}{(\rho C_p)_f}\right)\right) \sum_{k=0}^{m-1} f_k \theta'_{m-1-k} - \sum_{k=0}^{m-1} \theta_k f'_{m-1-k}; \tag{7}$$

$$\chi_m = \begin{cases} 0, & m \leq 1, \\ 1, & m > 1. \end{cases}$$

Общие решения уравнений (6), (7) могут быть записаны в следующем виде:

$$f_m(\eta) = f_m^*(\eta) + C_1 + C_2 e^\eta + C_3 e^{-\eta}, \quad \theta_m(\eta) = \theta_m^*(\eta) + C_4 e^\eta + C_5 e^{-\eta}.$$

Здесь $f_m^*(\eta)$, $\theta_m^*(\eta)$ — частные решения уравнений (4). Следует отметить, что уравнения (4) могут быть решены с использованием любого вычислительного программного обеспечения (Maple, Mathematica и т. д.).

3. Сходимость решений и обсуждение результатов. Вспомогательные параметры h_f , h_θ , входящие в выражения (5), обеспечивают сходимость решений. На рис. 1 показаны h -кривые для функций $f''(0)$, $\theta'(0)$. Видно, что допустимые значения h_f и h_θ находятся в диапазонах $-0,8 \leq h_f \leq -0,2$ и $-1,5 \leq h_\theta \leq -1,0$. Из рис. 1 следует, что полученные решения справедливы для всех физических параметров во всей рассматриваемой области. В таблице показано, что начиная с приближения 25-го порядка решения не меняются.

На рис. 2–6 показано влияние объемной доли наночастиц φ , числа Био γ и модифицированного числа Прандтля Pr_m на свойства жидкости со степенным реологическим законом. На рис. 2 показано влияние объемной доли наночастиц φ на температуру. Видно, что с увеличением значений φ увеличиваются температура и толщина теплового пограничного слоя. На рис. 3 показано влияние числа Био γ на температуру. Из рис. 3 следует, что с увеличением числа Био γ толщина теплового пограничного слоя и температура жидкости увеличиваются. Число Био прямо пропорционально коэффициенту теплопередачи. При увеличении числа Био коэффициент теплопередачи увеличивается, что в свою очередь

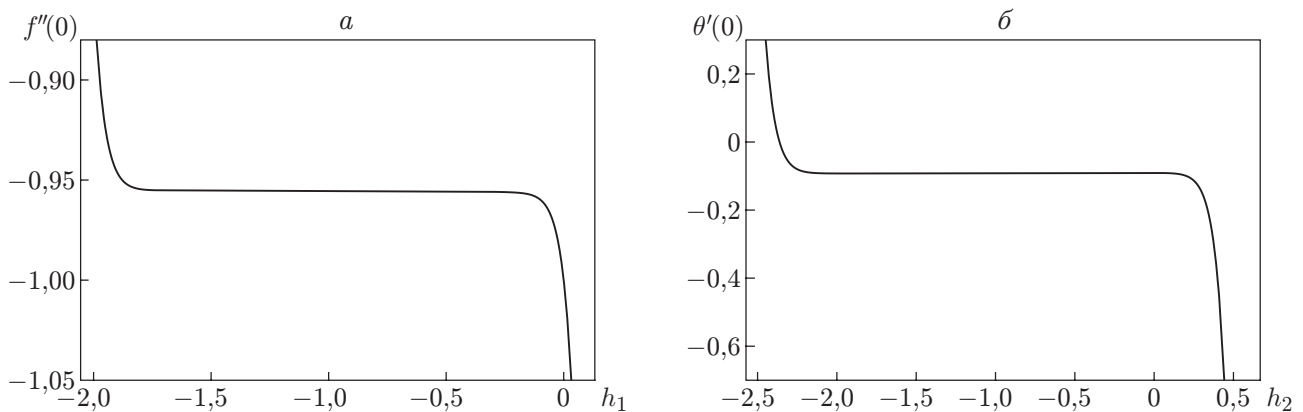


Рис. 1. h -кривые для функций $f''(0)$ (а) и $\theta'(0)$ (б) при порядке аппроксимации решения, равном 20

Сходимость решения при аппроксимациях различного порядка		
Порядок приближения	$-f''(0)$	$-\theta'(0)$
1	0,503 80	0,9855
5	0,521 29	1,1792
10	0,524 26	1,1841
15	0,524 49	1,1841
20	0,524 50	1,1841
25	0,524 51	1,1842
30	0,524 51	1,1842
40	0,524 51	1,1842

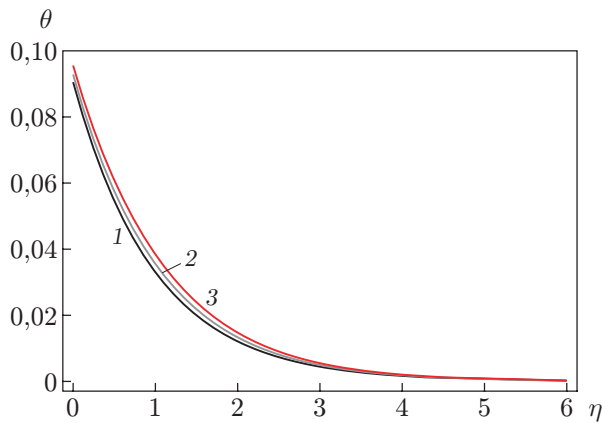


Рис. 2

Рис. 2. Профиль температуры при $Pr_m = 1$, $\lambda = 1$, $\gamma = 0,1$ и различных значениях φ :

1 — $\varphi = 0$, 2 — $\varphi = 0,09$, 3 — $\varphi = 0,25$

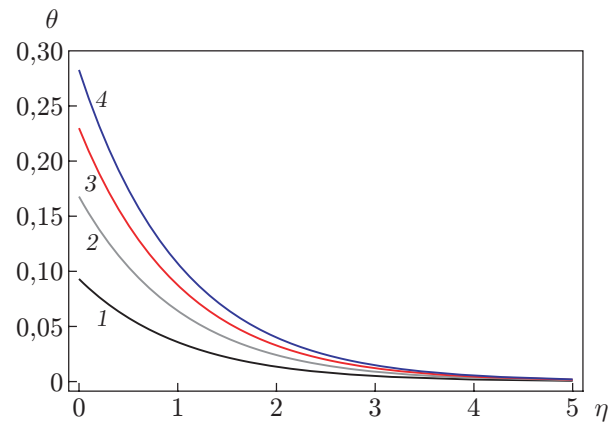


Рис. 3

Рис. 3. Профиль температуры при $Pr_m = 1$, $\lambda = 1$, $\varphi = 1$ и различных значениях γ :

1 — $\gamma = 0,1$, 2 — $\gamma = 0,2$, 3 — $\gamma = 0,3$, 4 — $\gamma = 0,4$

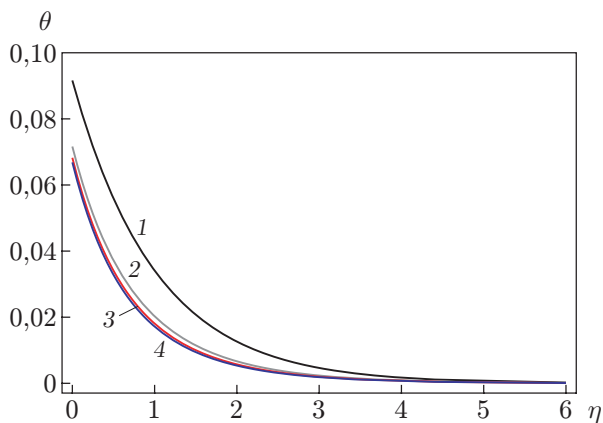


Рис. 4

Рис. 4. Профили температуры при $\varphi = 0,1$, $\lambda = 1$, $\gamma = 0,1$ и различных значениях Pr_m :

1 — $Pr_m = 1$, 2 — $Pr_m = 4$, 3 — $Pr_m = 7$, 4 — $Pr_m = 10$

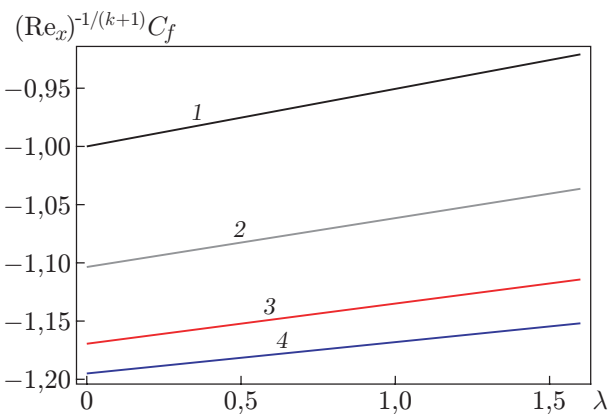


Рис. 5

Рис. 5. Зависимость коэффициента поверхностного трения от параметра смешанной конвекции λ при $Pr_m = 1$, $\gamma = 0,1$ и различных значениях φ :

1 — $\varphi = 0$, 2 — $\varphi = 0,05$, 3 — $\varphi = 0,10$, 4 — $\varphi = 0,15$

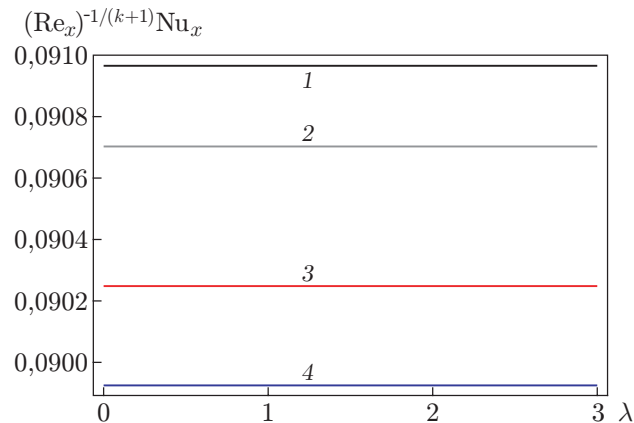


Рис. 6. Зависимость числа Нуссельта от параметра смешанной конвекции λ при $Pr_m = 1$, $\gamma = 0,1$ и различных значениях φ :
 1 — $\varphi = 0$, 2 — $\varphi = 0,05$, 3 — $\varphi = 0,15$, 4 — $\varphi = 0,25$

приводит к увеличению температуры и толщины теплового пограничного слоя. Влияние модифицированного числа Прандтля Pr_m на температуру показано на рис. 4. Видно, что с увеличением Pr_m температура уменьшается. Модифицированное число Прандтля Pr_m зависит от температуропроводности. С увеличением значения Pr_m температуропроводность уменьшается, что приводит к уменьшению температуры и толщины теплового пограничного слоя. Влияние объемной доли наночастиц φ на коэффициент поверхностного трения и число Нуссельта показано на рис. 5, 6. Видно, что с увеличением φ коэффициент поверхностного трения увеличивается, а локальное число Нуссельта уменьшается.

ЛИТЕРАТУРА

1. **Choi S. U. S., Eastman J. A.** Enhancing thermal conductivity of fluids with nanoparticles // Proc. of the 1995 ASME. Intern. mech. engng congress and exhibition, San Francisco (USA), 12–17 Nov. 1995. S. 1.: ASME, 1995. P. 99–105.
2. **Polidori G., Fohanno S., Nguyen C. T.** A note on heat transfer modelling of Newtonian nanofluids in laminar free convection // Intern. J. Thermal Sci. 2007. V. 46. P. 739–744.
3. **Moghadassi A. R., Hosseini S. M., Henneke D., Elkamel A.** A model of nanofluids effective thermal conductivity based on dimensionless group // J. Thermal Anal. Calorimetry. 2009. V. 96. P. 81–84.
4. **Choi S. U. S., Zhang Z. G., Yu W., et al.** Anomalously thermal conductivity enhancement in nanotube suspensions // Appl. Phys. Lett. 2001. V. 79. P. 2252–2254.
5. **Alinia M., Ganji D. D., Gorji-Bandpy M.** Numerical study of mixed convection in an inclined two sided lid driven cavity filled with nanofluid using two-phase mixture model // Intern. Comm. Heat Mass Transfer. 2011. V. 38. P. 1428–1435.
6. **Grosan T., Pop I.** Axisymmetric mixed convection boundary layer flow past a vertical cylinder in a nanofluid // Intern. J. Heat Mass Transfer. 2011. V. 54. P. 3139–3145.
7. **Chamkha A. J., Abu-Nada E.** Mixed convection flow in single- and double-lid driven square cavities filled with water — Al_2O_3 nanofluid: Effect of viscosity models // Eur. J. Mech. B. Fluids. 2012. V. 36. P. 82–96.
8. **Hamad M. A. A.** Analytical solution of natural convection flow of a nanofluid over a linearly stretching sheet in the presence of magnetic field // Intern. Comm. Heat Mass Transfer. 2011. V. 38. P. 487–492.

9. **Oztop H. F., Abu-Nada E., Varol Y., Al-Salem K.** Computational analysis of non-isothermal temperature distribution on natural convection in nanofluid filled enclosures // *Superlattices Microstruct.* 2011. V. 49. P. 453–467.
10. **Cho C. C., Chen C. L., Chen C. K.** Mixed convection heat transfer performance of water-based nanofluids in lid-driven cavity with wavy surfaces // *Intern. J. Thermal Sci.* 2013. V. 68. P. 181–190.
11. **Turkyilmazoglu M.** Exact analytical solutions for heat and mass transfer of MHD slip flow in nanofluids // *Chem. Engng Sci.* 2012. V. 84. P. 182–187.
12. **Turkyilmazoglu M., Pop I.** Heat and mass transfer of unsteady natural convection flow of some nanofluids past a vertical infinite flat plate with radiation effect // *Intern. J. Heat Mass Transfer.* 2013. V. 59. P. 167–171.
13. **Sheikholeslami M., Hatami M., Ganji D. D.** Analytical investigation of MHD nanofluid flow in a semi-porous channel // *Powder Technol.* 2013. V. 246. P. 327–336.
14. **Ibrahim W., Makinde O. D.** The effect of double stratification on boundary-layer flow and heat transfer of nanofluid over a vertical plate // *Comput. Fluids.* 2013. V. 86. P. 433–441.
15. **Sheikholeslami M., Ganji D. D.** Heat transfer of Cu — water nanofluid flow between parallel plates // *Powder Technol.* 2013. V. 235. P. 873–879.
16. **Makinde O. D., Aziz A.** Boundary layer flow of a nanofluid past a stretching sheet with a convective boundary condition // *Intern. J. Thermal Sci.* 2011. V. 50. P. 1326–1332.
17. **Hamad M. A. A., Bashir M. A.** Boundary layer flow and heat transfer of power-law non-Newtonian nanofluid over vertical stretching sheet // *World Appl. Sci. J.* 2009. V. 7. P. 172–178.
18. **Hady F. M., Ibrahim F. S., Abdel-Gaied S. M., Eid M. R.** Effect of heat generation/absorption on natural convective boundary-layer flow from a vertical cone embedded in a porous medium filled with a non-Newtonian nanofluid // *Intern. Comm. Heat Mass Transfer.* 2011. V. 38. P. 1414–1420.
19. **Hatami M., Ganji D. D.** Heat transfer and flow analysis for SA–TiO₂ non-Newtonian nanofluid passing through the porous media between two coaxial cylinders // *J. Molecular Liquids.* 2013. V. 188. P. 155–161.
20. **Nadeem S., Mehmood R., Akbar N. S.** Non-orthogonal stagnation point flow of a nano non-Newtonian fluid towards a stretching surface with heat transfer // *Intern. J. Heat Mass Transfer.* 2013. V. 57. P. 679–689.
21. **Liao S. J.** *Beyond perturbation: Introduction to the homotopy analysis method.* Boca Raton: Chapman and Hall: CRC Press, 2003.
22. **Turkyilmazoglu M.** Solution of the Thomas — Fermi equation with a convergent approach // *Comm. Nonlinear Sci. Numer. Simulat.* 2012. V. 17. P. 4097–4103.
23. **Rashidi M. M., Keimanesh M., Rajvanshi S. C.** Study of pulsatile flow in a porous annulus with the homotopy analysis method // *Intern. J. Numer. Methods Heat Fluid Flow.* 2012. V. 22. P. 971–989.
24. **Abbasbandy S., Hashemi M. S., Hashim I.** On convergence of homotopy analysis method and its application to fractional integro-differential equations // *Quaestiones Math.* 2013. V. 36. P. 93–105.
25. **Hayat T., Shehzad S. A., Al-Sulami H. H., Asghar S.** Influence of thermal stratification on the radiative flow of Maxwell fluid // *J. Brazilian Soc. Mech. Sci. Engng.* 2013. V. 35. P. 381–389.